

# TiAl-Cr合金中的 $\beta_2$ 相<sup>①</sup>

郑运荣 汪小平

(北京航空材料研究院, 北京 100095)

**摘要** 在 Ti(44~48)Al(3~6)Cr(摩尔分数, %) 的三元合金中, 存在 B2 结构的体心立方有序 $\beta_2$  相, 其形成与含 Cr 量有关。 $\beta_2$  相铸态成分可表示为:  $Ti_{55}Al_{33}Cr_{12}$ 。 $\beta_2$  相是该合金中显微硬度最高的相, 其硬度值随合金中 Cr 含量增加而提高。 $\beta_2$  相常分布于  $\gamma$  晶界, 起阻碍晶粒长大作用。

**关键词** TiAl 基合金  $\beta_2$  相 Cr 的作用**中图法分类号** TG113.12

在以 TiAl 为基的金属间化合物中, 具有  $TiAl + Ti_3Al$  片状组织的合金综合性能最佳, 加 Cr 可进一步提高该合金的室温塑性<sup>[1~4]</sup>。当 Cr 的含量超过 2% (摩尔分数) 时, 合金中会出现体心立方有序相  $\beta_2$ <sup>[5, 6]</sup>。然而, 对  $\beta_2$  相的作用有不同认识, 例如, 有人认为  $\beta_2$  相可以调节不同取向的  $\alpha_2 + \gamma$  晶粒的应变, 因而对提高塑性有利<sup>[5, 1]</sup>; 但最近研究结果表明, 含  $\beta_2$  相的 TiAl 基合金室温塑性低, 只有在高于 650 °C 时塑性才提高<sup>[8]</sup>。目前, 有关 Cr 对  $\beta_2$  相的形成规律的影响还缺乏系统的研究, 本文的目的是研究  $\beta_2$  相的成分、结构、析出温度区间以及它在细化晶粒和在合金变形中所起的作用。

## 1 试验方法

本研究所用的合金成分和熔炼方法示于表 1。试样放在石英管中抽真空至  $1 \times 10^{-4}$  Pa, 充高纯 Ar 至  $1.3 \times 10^4$  Pa 封焊, 然后把封焊好的石英管放在炉中加热, 加热温度范围为 900~1350 °C, 保温 2~168 h 淬水并迅速打破石英管。铸态和热处理后的试样用光学金相、扫描电镜、透射电镜、电子探针和图象分析仪研究合金的显微组织。

表 1 合金的成分(摩尔分数, %)

Table 1 Composition of alloys

(mole fraction, %)

Alloy	Ti	Al	Cr	Melting method
A	52.7	44.3	3.0	Consumable
B	49.7	44.3	6.0	Non consumable
C	46.0	48.0	6.0	Non consumable

## 2 结果与讨论

### 2.1 $\beta_2$ 相的形态与析出温度

铸态合金中的  $\beta_2$  相主要分布于晶界和枝晶间。经抛光和轻微腐刻后用相衬观察时,  $\beta_2$  相呈凸起态(图 1a)。抛光试样不经腐刻直接用扫描电镜背散射电子图像观察时, 可以清晰显示出自亮的  $\beta_2$  相(图 1b)。从图 1 可看到,  $\beta_2$  相呈块状、长片状或盘状。

热处理时,  $\beta_2$  相进一步析出。随着热处理温度升高,  $\beta_2$  相粗化。图 2a 是 A 合金经过 1000 °C, 168 h 处理后的显微组织, 除在晶界区保留块状铸态  $\beta_2$  相外, 在晶内  $\alpha_2 + \gamma$  片状组织内析出小颗粒状和盘状  $\beta_2$ , 这些  $\beta_2$  相打断了  $\alpha_2$  片。当 A 合金经 1200 °C, 168 h 处理后,  $\beta_2$  相长大成块状, 有时与块状  $\alpha_2$  相共生, 有时与多片  $\alpha_2$  相连, 在块状  $\alpha_2$  和  $\beta_2$  相附近,

① 航空基金资助项目 93G21022

收稿日期: 1996-10-31; 修回日期: 1997-01-26

郑运荣, 男, 55岁, 研究员

片状  $\alpha_2$  相回溶形成  $\gamma$  区(图 2b)。

当合金含 Cr 量增至 6% (摩尔分数) 时, 热处理后析出大量块状  $\beta_2$  相。图 3 是 C 合金经 1200 °C, 168 h 处理后的显微组织。铸态时粗大的片状  $\alpha_2 + \gamma$  晶粒变成了以  $\gamma$  晶粒为基、晶界上分布着块状  $\alpha_2$  和  $\beta_2$  的  $\alpha_2 + \beta_2 + \gamma$  三相组织(图 3a)。在背散射电子图像上  $\beta_2$  相(白色)和  $\alpha_2$ (灰色)可以很清楚地区分开(图 3b)。分布于  $\gamma$  晶界上的  $\beta_2$  和  $\alpha_2$  相有效地阻碍了  $\gamma$  晶粒长大。

对不同含 Cr 量的合金在不同温度下做了长时保温处理, 然后用图像分析仪测定  $\beta_2$  相的体积分数, 以确定 Cr 在促进  $\beta_2$  形成中所起的作用以及  $\beta_2$  相的稳定温度范围。结果表明, 铸态下合金 A 的  $\beta_2$  相含量为 0.5% (体积分数)。在 1000~1200 °C 保温 168 h 后, 该相的含量在 5%~6% (体积分数) 之间, 经 1250 °C, 168 h 保温后很少有  $\beta_2$  相, 这意味着该合金的  $(\alpha + \gamma)/(\alpha + \beta_2 + \gamma)$  相界约为 1250 °C。合金含 Cr 量增加,  $\beta_2$  相的含量明显增加, 含 Cr 量

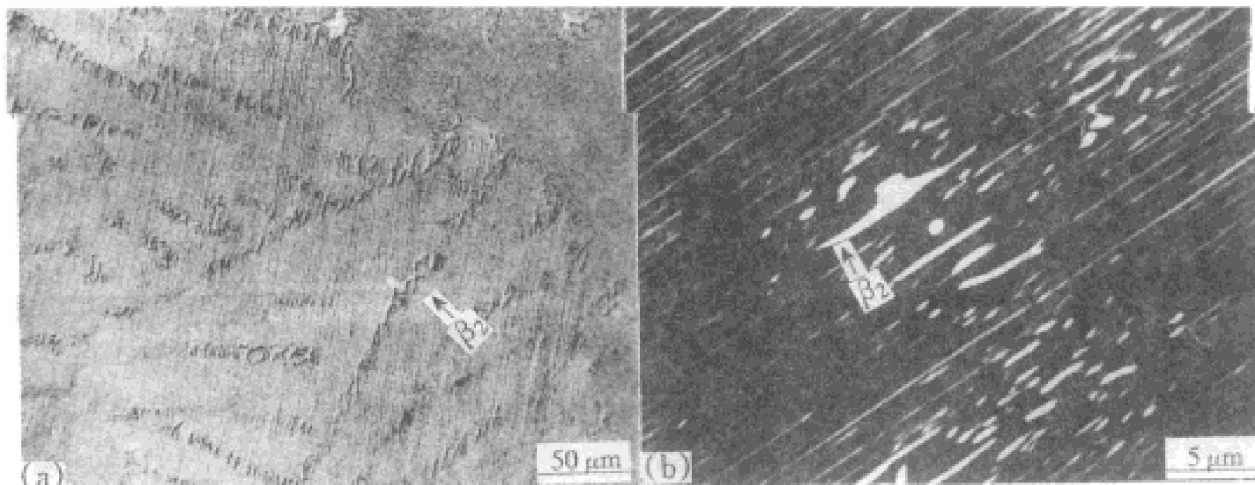


图 1 A 合金铸态显微组织

**Fig. 1 As-cast microstructures of alloy A**

(a) —Optical contrast micrograph; (b) —SEM-BEI

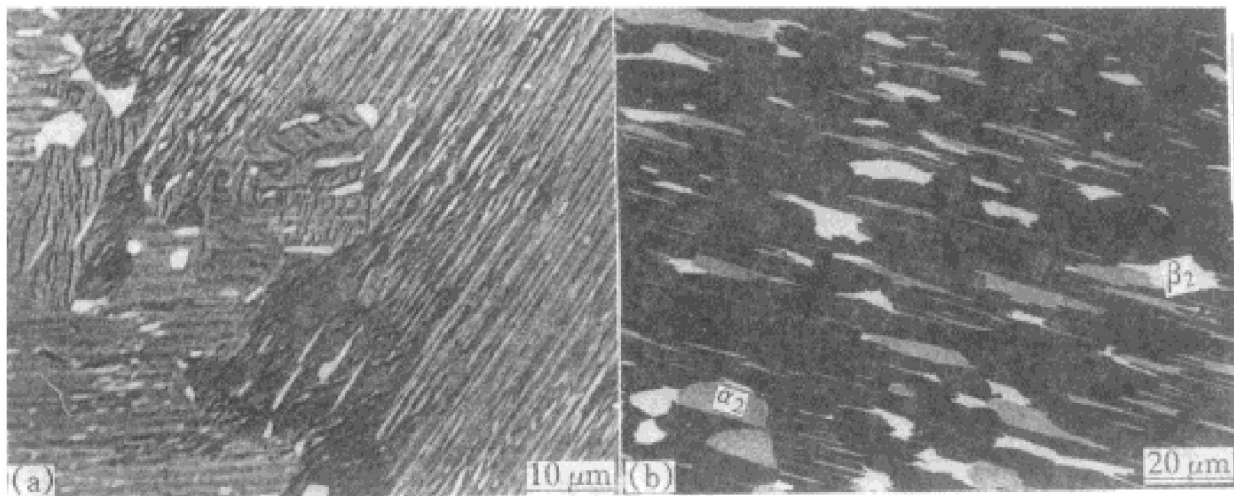


图 2 不同热处理状态下 A 合金中  $\beta_2$  相的形貌

**Fig. 2 Morphologies of  $\beta_2$  phase after different heat treatments**

(a) —1000 °C, 168 h; (b) —1200 °C, 168 h

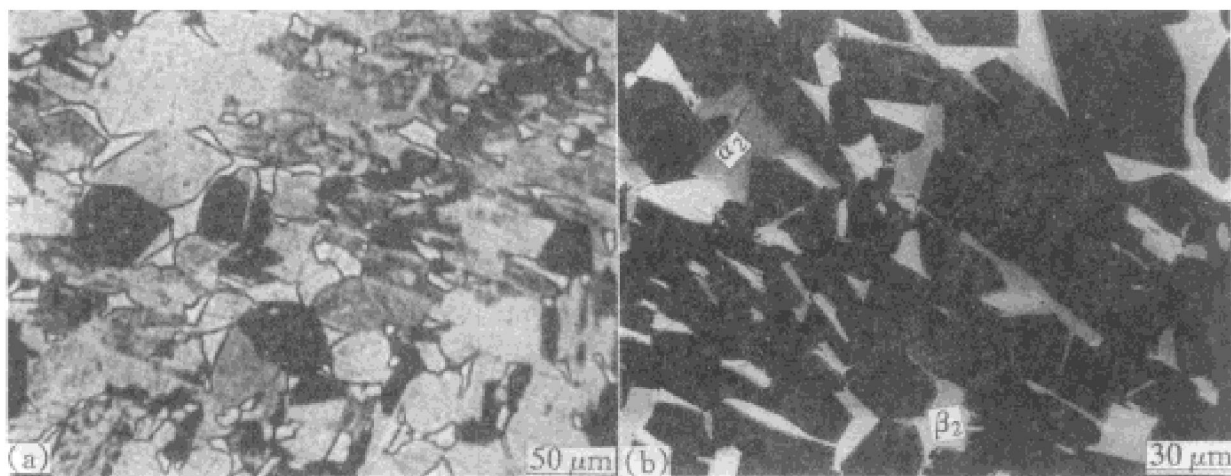


图3 合金C经1200 °C, 168 h热处理后的显微组织

**Fig. 3 Microstructures of alloy C after heat treatment of 1200 °C, 168 h**

(a) —Optical micrograph; (b) —SEM-BEI

为6%(摩尔分数)合金B经1200 °C, 168 h处理后 $\beta_2$ 相的含量达16%(体积分数)。随着合金中 $\beta_2$ 相含量的增加,该相的稳定温度范围也向高温扩展。

## 2.2 $\beta_2$ 相的结构与成分

B合金铸态试样用透射电镜观察时,可以清楚地区分开 $\alpha_2$ 、 $\beta_2$ 和 $\gamma$ 相(图4a),对 $\beta_2$ 相作选区电子衍射,证明该相是有序立方结构, $\bar{1}00$ 和 $010$ 超点阵衍射斑点清晰可见, $\beta_2$ 相的点阵常数为0.32 nm(图4b, c, d)。

热处理后在 $\alpha_2+\gamma$ 片层状组织区形成的 $\beta_2$ 相与 $\alpha_2$ 和 $\gamma$ 相有一定的取向关系。图5a是A合金经1000 °C, 168 h处理后的TEM照片,对图中的圆圈区作电子衍射,得到电子衍射图如图5b所示。由图5b,可知 $\beta_2$ 相与 $\alpha_2$ 和 $\gamma$ 相存在如下的取向关系:  $(0001)_{\alpha_2} \parallel \{111\}_{\gamma} \parallel \{110\}_{\beta_2}$  和  $\langle 11\bar{2}0 \rangle_{\alpha_2} \parallel \langle 1\bar{1}0 \rangle_{\gamma} \parallel \langle 111 \rangle_{\beta_2}$ 。

用电子探针对A、B和C三炉合金经1200 °C, 168 h处理后的试样内部 $\beta_2$ 相进行了成分分析,结果示于表2。可以看出, $\beta_2$ 相是富Cr相,而且随合金Cr含量增加, $\beta_2$ 相中的Cr含量也相应增加。试验结果还表明, $\beta_2$ 相中的Cr含量随热处理温度而变化。对A合金在不同温度下处理168 h后的 $\beta_2$ 相用能谱测量其

成分,结果示于表3。表3数据表明,随着温度升高 $\beta_2$ 相中的Cr含量降低,Al含量上升,而Ti含量变化甚微。

## 2.3 $\beta_2$ 相的变形能力

在本研究的TiAl合金中, $\beta_2$ 相是最硬的

**表2 含Cr的TiAl合金经1200 °C, 168 h处理后 $\beta_2$ 相的成分****Table 2 Composition of  $\beta_2$  phase in**

**Cr-bearing TiAl base alloys after  
1200 °C, 168 h treatment(mole fraction, %)**

Alloy	Content of Cr in alloy	Composition of $\beta_2$		
		Ti	Al	Cr
A	3.0	53.6	37.3	9.1
B	6.0	49.8	38.3	11.9
C	6.0	46.7	39.3	13.9

**表3 A合金中 $\beta_2$ 相的成分(摩尔分数, %)与温度的关系****Table 3 Relationship between composition  
of  $\beta_2$  phase and temperature in alloy A**

Element	As cast	1000 °C, 168 h	1150 °C, 168 h	1200 °C, 168 h	1230 °C, 168 h
Ti	55.3	53.0	53.2	53.4	53.6
Al	32.5	32.6	37.0	37.1	38.8
Cr	12.0	14.4	9.8	9.5	7.6

相, 在 0.5 N 负荷下, 该相的显微硬度值  $H_V=5550 \text{ MPa}$ 。图 6 示出了 A 合金  $\alpha_2$ ,  $\beta_2$  和  $\gamma$  三

相的显微硬度压痕。由压痕可看出,  $\beta_2$  和  $\gamma$  相的变形能力是各向同性的, 而  $\alpha_2$  相的变形为

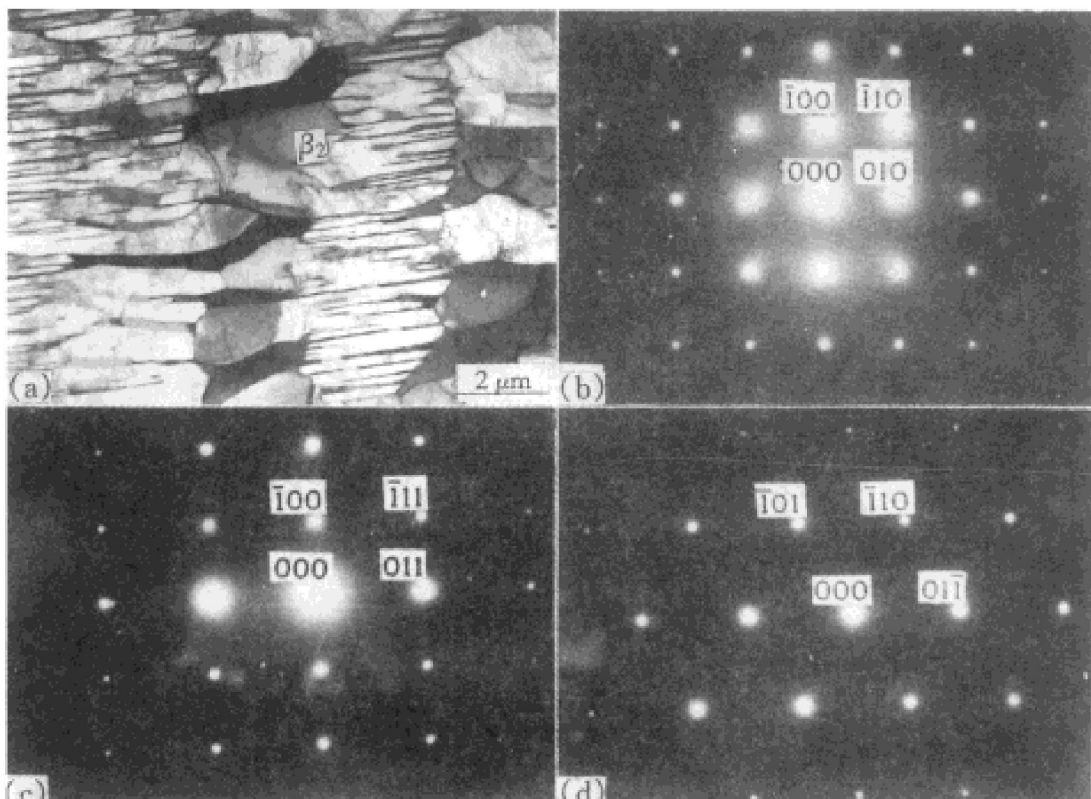


图 4 铸态下 B 合金中  $\beta_2$  相的形貌和选区衍射图

**Fig. 4 Morphology and selected electron diffraction patterns of  $\beta_2$  phase in as cast alloy B**

(a) —Bright field; (b), (c) and (d) —[001], [011] and [111] zone axis respectively

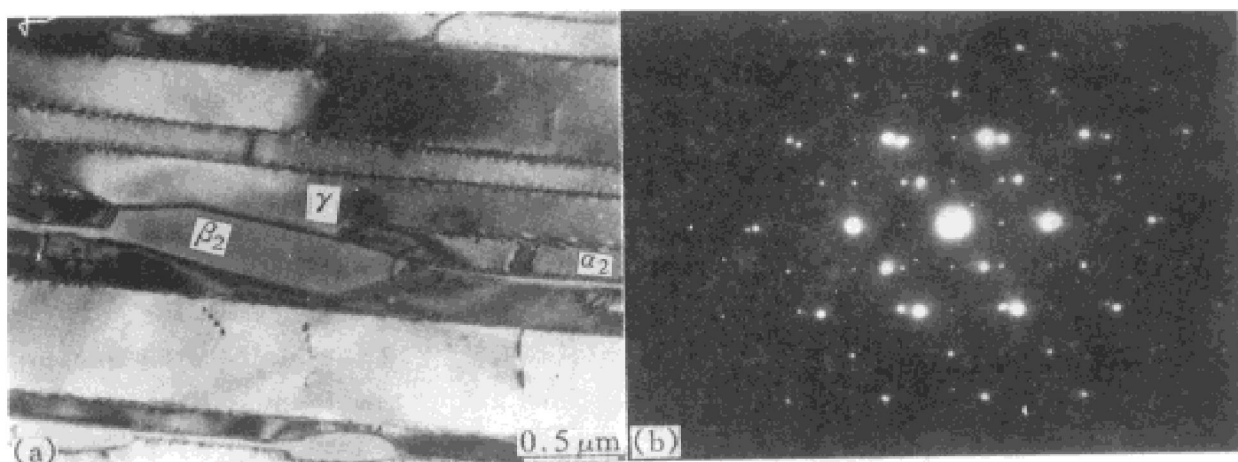


图 5 A 合金经 1000 °C, 168 h 处理后的 TEM 形貌和衍射图

**Fig. 5 Morphology and diffraction pattern of alloy A after 1000 °C, 168 h treatment**

(a) —TEM bright field; (b) —Diffraction pattern

各向异性, 表现在某取向的 $\alpha_2$ 相的显微硬度压痕呈菱形。随着 $\beta_2$ 相Cr含量的增加, $\beta_2$ 相的显微硬度升高。C合金经1200 °C, 168 h 处理后 $\beta_2$ 相的含Cr量为14% (摩尔分数), 其显微硬度值为5943 MPa。

在拉伸断裂试样内部, $\beta_2$ 相的位错密度很低, 变形主要集中在 $\gamma$ 相内, 图7a示出了A合金拉伸变形达1%时试样内部的位错, 可以看到 $\gamma$ 相内产生了变形孪晶和位错。在断口附近产生广泛的滑移, $\beta_2$ 相有效地阻碍了 $\gamma$ 相的长程滑移(图7b), 这表明 $\beta_2$ 相起分散滑移的作用, 延缓了裂纹的萌生。因此, 在TiAl基合金中Cr量低于3% (摩尔分数)时, 沿 $\gamma$ 晶界形成少量 $\beta_2$ 相对细化晶粒和阻碍滑移起有益作用; 但合金含Cr量进一步升高时, 随着 $\beta_2$ 相中Cr含量增加, $\beta_2$ 相脆性增大, 大量富Cr $\beta_2$ 相的存在将使合金变脆。基于以上原因, TiAl基合金的含Cr量通常低于3%。

### 3 结论

(1) Cr促使TiAl基合金形成 $\beta_2$ 相, 该相铸态时就存在, 在900~1200 °C热处理时进一步析出, 温度高于1250 °C时大量回溶。

(2)  $\beta_2$ 相是合金中Cr浓度最高的相, 合

金中Cr浓度升高时,  $\beta_2$ 相的Cr浓度也升高。温度升高 $\beta_2$ 中的Cr浓度降低。

(3)  $\beta_2$ 相是体心立方有序结构, 它与 $\alpha_2$ 和 $\gamma$ 相存在如下取向关系:  $(0001)_{\alpha_2} \parallel \{111\}_{\gamma} \parallel \{110\}_{\beta_2}$  和  $\langle 11\bar{2}0 \rangle_{\alpha_2} \parallel \langle \bar{1}10 \rangle_{\gamma} \parallel \langle \bar{1}11 \rangle_{\beta_2}$ 。

(4)  $\beta_2$ 相是合金中显微硬度最高的相, 少量的 $\beta_2$ 相分布于 $\gamma$ 晶界对细化晶粒有益。

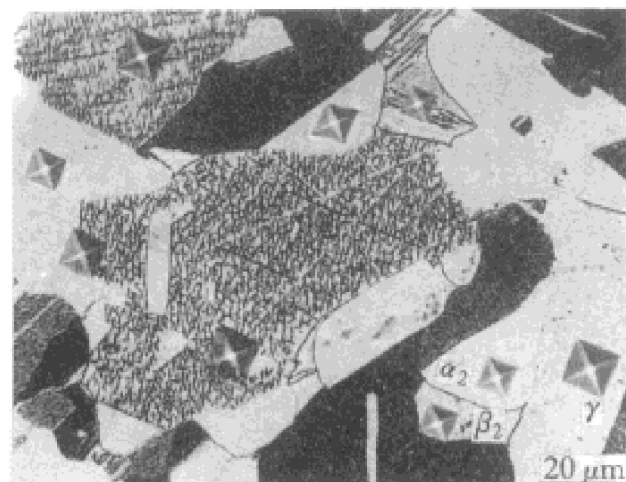


图6 A合金经1200 °C, 72 h 处理后 $\alpha_2$ ,  
 $\beta_2$ 和 $\gamma$ 相的显微硬度压痕

**Fig. 6 Microhardness impressions of  $\alpha_2$ ,  
 $\beta_2$  and  $\gamma$  phases in alloy A  
after 1200 °C, 72 h treatment**

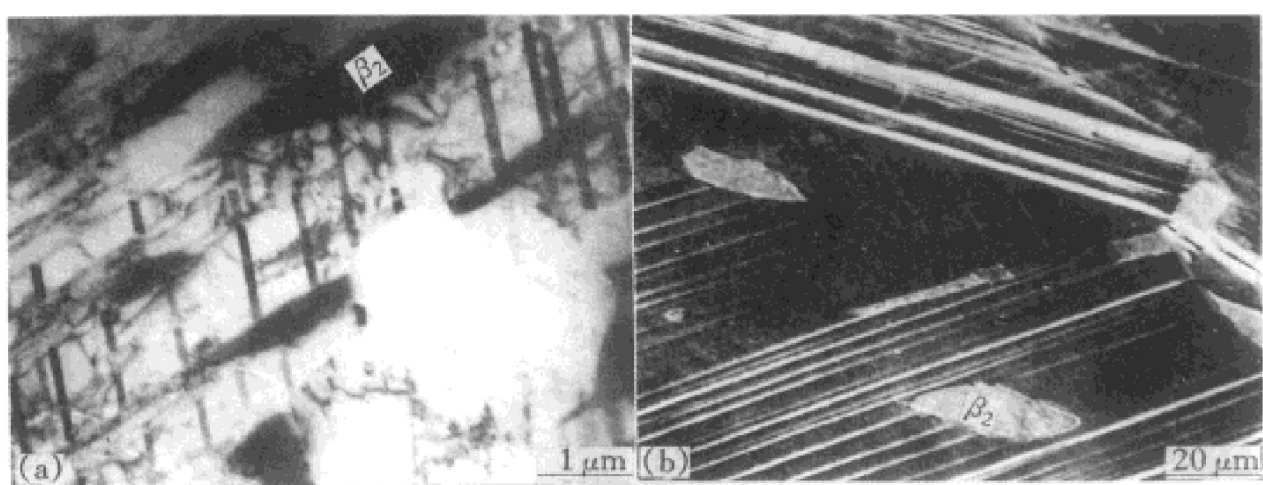


图7 A合金经1150 °C, 168 h 处理后室温拉伸断裂试样(变形量 $\varepsilon=1.0\%$ )的位错(a)与滑移(b)

**Fig. 7 Dislocation substructures (a) and slip bands (b)  
of tensile fractured specimen ( $\varepsilon=1.0\%$ ) at room temperature  
in alloy A after 1150 °C, 168 h treatment**

## REFERENCES

- 1 Kawabata T, Tamura T and Izumi O. Mater Res Soc Symp Proc, 1989, 133: 329.
- 2 Huang S C and Hall E L. Metall Trans, 1991, 22A: 2619.
- 3 Wunderlich W, Kremser T and Frommeyer G. Z Metall, 1990, 81: 802.
- 4 Shih D S, Huang S C, Scarr G K, Jang H and Chennutt J C. In: Boyer R, Hall J and Kim Y W eds, Mat crostructure/ Property Relationship in Titanium Alloys and Titanium Aluminides. Warrendale PA: TMS, 1991: 135– 148.
- 5 Masahasi N, Mizuhara Y, Matsuo M, Hashimoto K, Kimura M, Hanamura T and Fujii H. Mater Res Soc Symp Proc, 1991, 213: 795.
- 6 Zheng Y, Zhao L and Tangri K. Scr Metall Mater, 1992, 26: 219.
- 7 Gao Y, Zhu J and Cai Q G. Scr Metall Mater, 1994, 31: 571.
- 8 Chen W R, Wang J, Zhang B, Wan X and Chen W J. Mater Res Soc Symp Proc, 1995, 364: 1017.

## $\beta_2$ PHASE IN TiAl-Cr ALLOYS

Zheng Yunrong and Wang Xiaoping

*Institute of Aeronautical Materials, Beijing 100095, P. R. China*

**ABSTRACT** In the ternary alloys of Ti(44~48)Al(3~6)Cr(mole fraction, %), there is an ordered bcc  $\beta_2$  phase with B2 structure. The formation of this phase is related to the content of Cr. 0.5% (volume fraction)  $\beta_2$  phase can be precipitated in as-cast Ti44Al3Cr alloy. The amount of  $\beta_2$  phase reaches 6% (volume fraction) after long time soaking from 900 °C to 1200 °C. However,  $\beta_2$  phase disappears when holding long time above 1250 °C. The composition of  $\beta_2$  phase can be expressed as  $Ti_{55}Al_{33}Cr_{12}$ . The microhardness of  $\beta_2$  phase is the highest among all the phases of the alloy and its microhardness increases with the increase of Cr content in alloys.  $\beta_2$  phase often distributes at the grain boundaries of  $\gamma$  phase and retards the growth of  $\gamma$  grains. The deformation capability of  $\beta_2$  phase is the weakest in the phases of the alloy and it inhibits the long distance slip, therefore,  $\beta_2$  phase would make slip dispersive and delay the initiation of cracks.

**Key words** TiAl base alloys     $\beta_2$  phase    effect of Cr

(编辑 彭超群)